



รายการอ้างอิง

1. B.G. Watters,R.B. Coleman,G.L. Duckworth and E.F. Berkman " A Perspective On Active Machinery Isolation " IEEE Proceedings of the 27th Conference on Decision and Control Austin, 1988
2. Colin F Ross " Active Isolation of Ship Machinery Platforms " IEEE Proceedings of the 27th Conference on Decision and Control Austin, 1988
3. Z. Jason Geng and Leonard S. Haynes " Six Degree-of-Freedom Active Vibration Control Using the Stewart Platforms " IEEE, VOL.2, NO.1, MARCH 1994
4. Eric H. Anderson and Jonathan P. How " Active Vibration Isolation Using Adaptive Feedforward Control " IEEE, Proceedings of the American Control Conference, 1997
5. JK Baker " Vibration Isolation " Oxford University Press



บรรณานุกรม

1. William T. Thomson " Vibration Theory and Applications " 4th edition Prentice-Hall, Inc. 1993
2. Austin H. Church " Mechanical Vibrations " 2nd edition John Wiley and Sons, Inc. 1963
3. J.P. Den Hartog " Mechanical Vibrations " 4th edition McGraw-Hill Book Company, Inc. 1956
4. Robert K. Vierck " Vibration Analysis " 5th edition International Textbook Company, 1967
5. รศ.ดร.วิบูลย์ แสงวีระพันธุ์ศิริ " การควบคุมระบบพลศาสตร์ " สำนักพิมพ์จุฬาลงกรณ์มหาวิทยาลัย พ.ศ. 2538
6. Curtis D. Johnson " Process Control Instrumentation Technology " 2nd edition John Wiley & Sons, Inc. 1982
7. Katsuhiko Ogata " Modern Control Engineering " 1st edition Prentice-Hall International, Inc. 1990
8. William F. Riley and Loren Zachary " Introduction to Mechanics of Materials " 1st edition John Wiley & Sons, Inc. 1989
9. Neil Storey " Electronics A Systems Approach " Addison-Wesley Publishing Company 1992
10. ปานเพชร ชินินทร และ ขวัญชัย สันทิพย์สมบูรณ์ " นิวแมติก อุตสาหกรรม " บริษัท เอช.เอ็น. กรุ๊ป จำกัด พ.ศ. 2539
11. วันชัย คุณากรวงศ์, บัณฑิต บัวบูชา, รัฐภูมิ ประทุมราช และ รุ่งแสง เครือไวยสุวรรณ " การคำนวณวงจรถานซิสเตอร์ " หจก.สำนักพิมพ์พีสิกส์เซ็นเตอร์
12. J.L. Meriam and L.G. Kraige " Engineering Mechanics Volume Two Dynamics " 3rd edition John Wiley & Sons, Inc. 1993

ภาคผนวก

ภาคผนวก ก

โปรแกรมที่ใช้ในการควบคุมระบบ

โปรแกรมนี้ใช้สำหรับบอร์ดควบคุม (Controller Board) CP-S8252 V2.0 ซึ่งอยู่ในกลุ่ม MCS-51 มีข้อมูลดังนี้

```
ORG 0000H
```

```
-----
;
;   Define keypad
;
-----
```

```
KPAD_ROW      BIT   P2.0
KPAD_ROW1     BIT   P2.1
KPAD_ROW2     BIT   P2.2
KPAD_ROW3     BIT   P2.3
KPAD_COL2     BIT   P2.4
KPAD_COL1     BIT   P2.5
KPAD_COL0     BIT   P2.6

KPAD_DATA     EQU   030H ; For keep keypad data
DATA1         EQU   031H ; For keep input data
DATA2         EQU   032H
DATA3         EQU   033H
DATA4         EQU   034H
DATA5         EQU   035H
```

```
-----
;
;   Define variable
;
-----
```

FWD_SIG	BIT	P1.0
BWD_SIG	BIT	P1.1
HOME_SIGNAL	BIT	P0.0
PULSE1	BIT	P3.4
PULSE2	BIT	P2.7

I EQU 036H

J EQU 037H

OVER EQU 038H

MUL1H EQU 039H

MUL1L EQU 03AH

MUL2 EQU 03BH

MUL_RESULTL EQU 03CH

MUL_RESULTH EQU 03DH

MUL_RESULTHH EQU 03EH

COMPARE_V EQU 03FH

COMPARE1H EQU 040H

COMPARE1L EQU 041H

COMPARE2H EQU 042H

COMPARE2L EQU 043H

HEXH EQU 044H

HEXL EQU 045H

KEY_DATAH EQU 046H

KEY_DATA_L EQU 047H

```

POSH          EQU  048H
POSL          EQU  049H
POS2H         EQU  04AH
POS2L         EQU  04BH
ROTATE        EQU  04CH
LAST_ROTATE   EQU  04DH
POSSTOPH      EQU  04EH
POSSTOPL      EQU  04FH
HZH           EQU  050H
HZL           EQU  051H
POSDH         EQU  054H
POSDL         EQU  055H
CHECK_HZ      EQU  056H
OLD_HZ        EQU  057H
LIMIT         EQU  058H

```

```

;-----
;           Define LCD pins
;-----

```

```

CS_LCD  EQU  P1.3    ; E LCD (PIN INT1)
RS_LCD  EQU  P1.2    ; RS LCD (Pin T0)

```

```

AJMP MAIN

```

```

ORG 00BH ; TF0 vector interrupt

```

```

SETB OVER

```

```

RETI

```

```

MAIN:      MOV  SP,#256-32 ; Initial Stack 32 Byte

```

```

MOV P3,#00111111B
MOV P2,#11111111B
MOV P0,#00000000B
CLR FWD_SIG
CLR BWD_SIG

```

```

;-----
; Initialize LCD
;-----

```

```

SETB CS_LCD ; initial LCD
LCALL DELAY ; initial delay
LCALL INIT_LCD ; initial LCD

```

```

;-----
; Main loop
;-----

```

```

MOV TMOD,#55H ; counter0 16 bit , counter1 16 bit
SETB EA
MOV POSH,#003H
MOV POSL,#08CH

```

```
SET_HOME:
```

```

JB HOME_SIGNAL,STOP_TO_HOME
SETB BWD_SIG
CLR FWD_SIG
LJMP SET_HOME

```

```
STOP_TO_HOME:
```

```
MOV P0,#11111111B
```

```
CLR  FWD_SIG
CLR  BWD_SIG
```

MAIN_LOOP:

```
MOV  OLD_HZ,#0
LJMP INITIAL_HZ
```

RECORD_POSITION:

```
MOV  A,#040H
LCALL GOTO_LCD
MOV  LIMIT,#16
LCALL WRLINE_LCD
MOV  POSSTOPH,HEXH
MOV  POSSTOPL,HEXL
MOV  A,#000H
LCALL GOTO_LCD
MOV  DPTR,#MOVE
MOV  LIMIT,#16
LCALL WRLINE_LCD
LCALL DELAY_1s
```

CHECK:

```
CLR  C
MOV  A,POSSTOPH
SUBB A,POSH
JNC  COND1
LCALL RUN_BACKWARD
LJMP MAIN_LOOP
```

COND1:

```
JZ   MAIN_LOOP
LCALL RUN_FORWARD
```



```
COND2:          LJMP  MAIN_LOOP
```

```
-----
;
;          DETECT SPEED
;
-----
```

```
INITIAL_HZ:
```

```
          MOV  CHECK_HZ,#3
```

```
          MOV  OLD_HZ,HZL
```

```
DETECT_HZ:
```

```
          MOV  TH1,#000H
```

```
          MOV  TL1,#000H
```

```
          SETB ET1
```

```
          SETB TR1
```

```
          LCALL DELAY_1s
```

```
          MOV  HEXH,TH1
```

```
          MOV  HEXL,TL1
```

```
          MOV  HZL,HEXL
```

```
          MOV  A,HEXL
```

```
          MOV  B,#60
```

```
          MUL  AB
```

```
          MOV  HEXL,A
```

```
          MOV  HEXH,B
```

```
          CLR  TR1
```

```
          CLR  ET1
```

```
          MOV  A,#000H
```

```
          LCALL GOTO_LCD
```

```
          MOV  DPTR,#DETECT
```

```
          MOV  LIMIT,#7
```

```
          LCALL WRLINE_LCD
```

```
          LCALL SHOW_DEC
```

```
          ;show freq in rpm
```

```
          MOV  DPTR,#RPM
```

```
MOV  LIMIT,#4
LCALL WRLINE_LCD
```

HZ_TO_POSITION:

```
MOV  HEXL,HZL
MOV  A,HEXL
CJNE A,OLD_HZ,INITIAL_HZ
MOV  OLD_HZ,HEXL
DJNZ CHECK_HZ,DETECT_HZ
```

```
CJNE A,#13,NOT13
MOV  HEXH,#020H
MOV  HEXL,#030H
MOV  DPTR,#POSITION13
LJMP RECORD_POSITION
```

NOT13:

```
CJNE A,#15,NOT15
MOV  HEXH,#018H
MOV  HEXL,#0E0H
MOV  DPTR,#POSITION15
LJMP RECORD_POSITION
```

NOT15:

```
CJNE A,#17,NOT17
MOV  HEXH,#014H
MOV  HEXL,#000H
MOV  DPTR,#POSITION17
LJMP RECORD_POSITION
```

NOT17:

```
CJNE A,#18,NOT18
MOV  HEXH,#011H
MOV  HEXL,#090H
```

```
MOV DPTR,#POSITION18
LJMP RECORD_POSITION

NOT18:

CJNE A,#20,NOT20
MOV HEXH,#00FH
MOV HEXL,#020H
MOV DPTR,#POSITION20
LJMP RECORD_POSITION

NOT20:

CJNE A,#22,NOT22
MOV HEXH,#00CH
MOV HEXL,#0B0H
MOV DPTR,#POSITION22
LJMP RECORD_POSITION

NOT22:

CJNE A,#23,NOT23
MOV HEXH,#00AH
MOV HEXL,#040H
MOV DPTR,#POSITION23
LJMP RECORD_POSITION

NOT23:

CJNE A,#25,NOT25
MOV HEXH,#007H
MOV HEXL,#0D0H
MOV DPTR,#POSITION25
LJMP RECORD_POSITION

NOT25:

LJMP INITIAL_HZ
```

```
;-----  
;  
; Run Forward  
; (POSH,POSL)=RUN_FORWARD(POSH,POSL,POSSTOPH,POSSTOPL)  
;-----
```

RUN_FORWARD:

```
PUSH ACC  
MOV TH0,#000H  
MOV TL0,#000H  
SETB ET0  
SETB TR0  
CLR C  
MOV A,POSSTOPL  
SUBB A,POSL  
MOV POSDL,A  
MOV A,POSSTOPH  
SUBB A,POSH  
MOV POSDH,A  
CLR C  
MOV A,POSDL  
SUBB A,#20  
MOV POSDL,A  
MOV A,POSDH  
SUBB A,#0  
MOV POSDH,A
```

FORWARD10:

```
CLR C  
MOV POS2H,TH0  
MOV POS2L,TL0  
MOV A,POS2H  
SUBB A,POSDH
```

```
JC    SET_FW_SIGNAL
JNZ   STOP_FW
MOV   A,POSDL
SUBB  A,POS2L
JC    STOP_FW
LJMP  SET_FW_SIGNAL
```

STOP_FW:

```
CLR   FWD_SIG
CLR   BWD_SIG
LCALL DELAY_1s
LCALL DELAY_1s
MOV   HEXH,TH0
MOV   HEXL,TL0
CLR   C
MOV   A,POSL
ADD   A,HEXL
MOV   POSL,A
MOV   A,POSH
ADDC  A,HEXH
MOV   POSH,A
MOV   HEXH,POSH
MOV   HEXL,POSL
MOV   A,#000H
LCALL GOTO_LCD
MOV   DPTR,#STOP
MOV   LIMIT,#16
LCALL WRLINE_LCD
LCALL DELAY_1s
CLR   TR0
CLR   ET0
POP   ACC
```

```

RET

SET_FW_SIGNAL:

MOV  P0,#00000000B
SETB FWD_SIG
CLR  BWD_SIG
LJMP FORWARD10

;-----
;          Run Backward
; (POSH,POSL)=RUN_BACKWARD(POSH,POSL,POSSTOPH,POSSTOPL)
;-----

RUN_BACKWARD:

PUSH ACC
MOV  TH0,#000H
MOV  TL0,#000H
SETB ET0
SETB TR0
CLR  C
MOV  A,POSL
SUBB A,POSSTOPL
MOV  POSDL,A
MOV  A,POSH
SUBB A,POSSTOPH
MOV  POSDH,A
CLR  C
MOV  A,POSDL
SUBB A,#20
MOV  POSDL,A
MOV  A,POSDH
SUBB A,#0
MOV  POSDH,A

```

BACKWARD10:

```
CLR  C
MOV  POS2H,TH0
MOV  POS2L,TL0
MOV  A,POS2H
SUBB A,POSDH
JC   SET_BW_SIGNAL
JNZ  STOP_BW
MOV  A,POSDL
SUBB A,POS2L
JC   STOP_BW
LJMP SET_BW_SIGNAL
```

STOP_BW:

```
CLR  BWD_SIG
CLR  FWD_SIG
LCALL DELAY_1s
LCALL DELAY_1s
MOV  HEXH,TH0
MOV  HEXL,TL0
CLR  C
MOV  A,POSL
SUBB A,HEXL
MOV  POSL,A
MOV  A,POSH
SUBB A,HEXH
MOV  POSH,A
MOV  HEXH,POSH
MOV  HEXL,POSL
MOV  A,#000H
LCALL GOTO_LCD
```

```

MOV DPTR,#STOP
MOV LIMIT,#16
LCALL WRLINE_LCD
LCALL DELAY_1s
CLR TR0
CLR ET0
POP ACC
RET

```

SET_BW_SIGNAL:

```

MOV P0,#00000000B
SETB BWD_SIG
CLR FWD_SIG
LJMP BACKWARD10

```

```

;-----
; Show decimal number to LCD
;-----

```

SHOW_DEC:

```

PUSH ACC
PUSH B
PUSH 1
PUSH 2
MOV I,#5

```

SHOW_DEC1:

```

MOV A,HEXH
MOV B,#10
DIV AB
MOV HEXH,A
MOV A,HEXL
ANL A,#0F0H
ORL A,B

```



```
SWAP A
MOV B,#10
DIV AB
MOV R1,A
MOV A,B
SWAP A
MOV B,A
MOV A,HEXL
ANL A,#0FH
ORL A,B
MOV B,#10
DIV AB
MOV R2,A
MOV DATA1,DATA2
MOV DATA2,DATA3
MOV DATA3,DATA4
MOV DATA4,DATA5
MOV DATA5,B
MOV A,R1
SWAP A
ORL A,R2
MOV HELX,A
DJNZ I,SHOW_DEC1
LCALL SHOW_LCD
LCALL DELAY
POP 2
POP 1
POP B
POP ACC
RET
```

```

;-----
;*           show LCD           *
;-----

```

SHOW_LCD:

```

        PUSH ACC
        MOV  A,DATA5
        ADD  A,#030H
        ACALL WR_LCD
        MOV  A,DATA4
        ADD  A,#030H
        ACALL WR_LCD
        MOV  A,DATA3
        ADD  A,#030H
        ACALL WR_LCD
        MOV  A,DATA2
        ADD  A,#030H
        ACALL WR_LCD
        MOV  A,DATA1
        ADD  A,#030H
        ACALL WR_LCD
        POP  ACC
        RET

```

```

*****
;
;*           Input : ACC (ASCII)       *
;*           Output : Data bus LCD     *
*****
;

```

WR_LCD:

```

        PUSH B
        PUSH 2

```

```

MOV B,A
ANL A,#0F0H
ORL A,#00001100B ;RS/CS HI
MOV R2,A
MOV A,P1
ANL A,#00000011B
ORL A,R2
MOV P1,A
LCALL EN_LCD
MOV A,B ;Low byte
SWAP A
ANL A,#0F0H
ORL A,#00001100B
MOV R2,A
MOV A,P1
ANL A,#00000011B
ORL A,R2
MOV P1,A
LCALL EN_LCD
POP 2
POP B
RET

```

```

;-----
; Write Line to LCD
;-----

```

WRLINE_LCD:

```

PUSH ACC
PUSH 0
MOV R0,#0

```

WRLINE_LCD1:

```

MOV  A,#0
MOVC A,@A+DPTR
LCALL WR_LCD
INC  DPTR
INC  R0
MOV  A,R0
CJNE A,LIMIT,WRLINE_LCD1
POP  0
POP  ACC
RET

```

```

*****
;
;*      Write Instruction LCD      *
;
;*      Input : ACC (Command)     *
;
;*      Output : Data bus LCD     *
;
*****

```

WR_INS:

```

PUSH ACC
PUSH B
MOV  B,A
ANL  A,#0F0H
SETB ACC.3      ;CS HI
MOV  R2,A
MOV  A,P1
ANL  A,#00000011B ;else bit
ORL  A,R2
MOV  P1,A      ; High byte
LCALL EN_LCD
MOV  A,B      ; Low byte
SWAP A
ANL  A,#0F0H
SETB ACC.3

```

```

MOV R2,A
MOV A,P1
ANL A,#00000011B
ORL A,R2
MOV P1,A
LCALL EN_LCD
POP B
POP ACC
RET

```

```

;*****
;
;*      Goto position of LCD      *
;
;*      Input : ACC (addr.)      *
;
;*****
;

```

GOTO_LCD:

```

PUSH ACC
SETB ACC.7
LCALL WR_INS
POP ACC
RET

```

```

;-----
;      Clear LCD Screen
;-----
;

```

CLR_SCREEN:

```

PUSH ACC
MOV A,#01H
LCALL WR_INS
POP ACC
RET

```

```

*****
;
;*      Initial LCD      *
;
;*      4-Bit Interface  *
;
*****

INIT_LCD:

        PUSH  ACC
        CLR   RS_LCD
        MOV   A,#33H      ; Set DL = 1 3-time
        LCALL WR_INS
        MOV   A,#32H      ; Clear DL = 0 1-time
        LCALL WR_INS
        MOV   A,#28H      ; Function set
        LCALL WR_INS      ; DL=0 4Bit,N=1 2Line,F=0 5X7
        MOV   A,#0CH
        LCALL WR_INS      ; Entry display,cursor off,cursor not blink
        MOV   A,#06H      ; Entry mode set
        LCALL WR_INS      ; I/D=1 Increment,S=0 cursor shift
        MOV   A,#01H      ; Clear display
        LCALL WR_INS      ; Clear display,set DD RAM address=0
        POP   ACC
        RET

*****
;
;*      Enable Pin E LCD  *
;
;*      Active Chip select *
;
*****

EN_LCD:      CLR   CS_LCD      ; Enable LCD
             LCALL  BUSY      ; Busy delay time
             SETB  CS_LCD      ; Disable LCD
             RET

```

```

*****
;
;*          Delay time for Busy          *
;*          Wait LCD Ready              *
;

```

```

BUSY:  PUSH  07H
        PUSH  06H
        MOV   R6,#05H
BUSY1:  MOV   R7,#0FFH
        DJNZ  R7,$
        DJNZ  R6,BUSY1
        POP   06H
        POP   07H
        RET

```

```

*****
;
;*          Delay Time                  *
;

```

```

DELAY:  PUSH  07H
        PUSH  06H
DEL1:   MOV   R6,#0FFH
DEL2:   MOV   R7,#0FFH
        DJNZ  R7,$
        DJNZ  R6,DEL2
        POP   06H
        POP   07H
        RET

```

```

*****
;
;*          Delay Time 1 second        *
;

```

```

DELAY_1s:  PUSH  07H

```

```

                                PUSH 06H
                                PUSH 05H
                                MOV  5,#100
DELAY_10ms:                     MOV  7,#10                                ;Each loop = 10 ms
DELAY_2:                         MOV  6,#0BFH                            ;Each loop = 1 ms
DELAY_3:                         NOP
                                NOP
                                NOP
                                NOP
                                NOP
                                NOP
                                DJNZ R6,DELAY_3
                                DJNZ R7,DELAY_2
                                DJNZ R5,DELAY_10ms
                                POP  05H
                                POP  06H
                                POP  07H
                                RET

```

```

;                                '0123456789ABCDEF'

```

```

FWD_RUN:                         DB   'FWD RUN '
BWD_RUN:                         DB   'BWD RUN '
STOP:                            DB   'STOP AT '
HZ:                              DB   ' Hz'
DETECT:                          DB   'DETECT '
MOVE:                            DB   'MOVE TO '
RPM:                             DB   ' RPM'
POSITION13:                      DB   'POSITION 42 cm. '
POSITION15:                      DB   'POSITION 39 cm. '

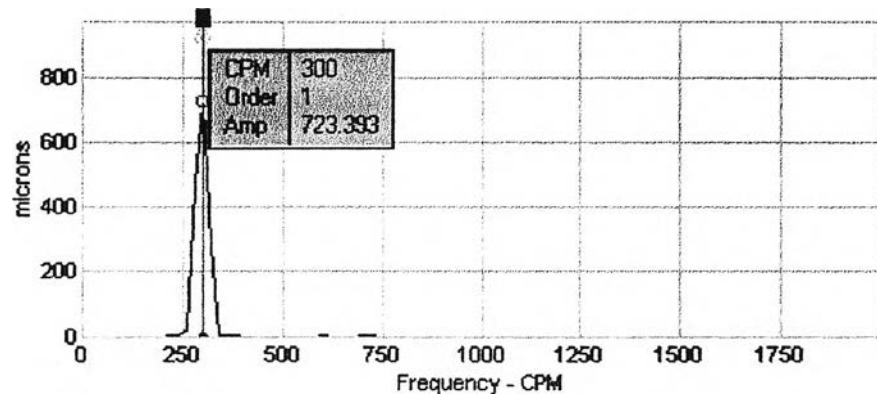
```


POSITION17: DB 'POSITION 37 cm. '
POSITION18: DB 'POSITION 36 cm. '
POSITION20: DB 'POSITION 35 cm. '
POSITION22: DB 'POSITION 34 cm. '
POSITION23: DB 'POSITION 33 cm. '
POSITION25: DB 'POSITION 32 cm. '

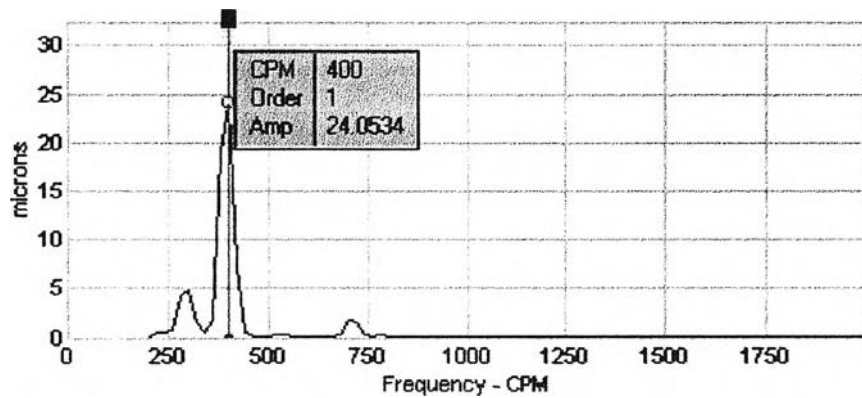
END

ภาคผนวก ข

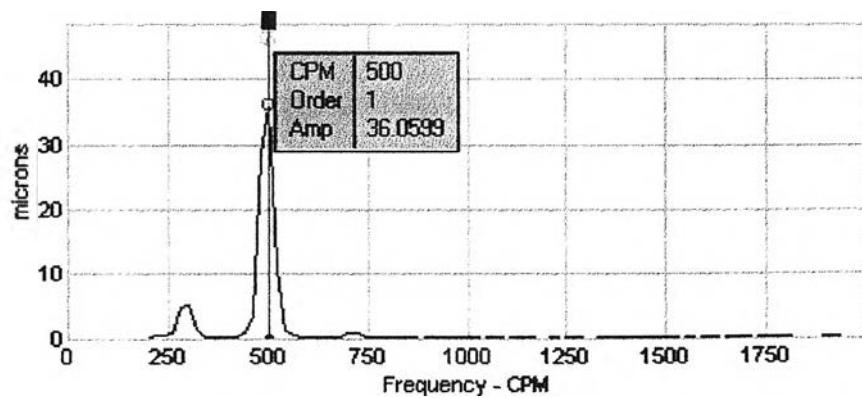
ตัวอย่างภาพสัญญาณโดเมนความถี่ที่ได้จากเครื่องมือวัด MICROLOG



เครื่องจักรทำงานที่ 300 rpm

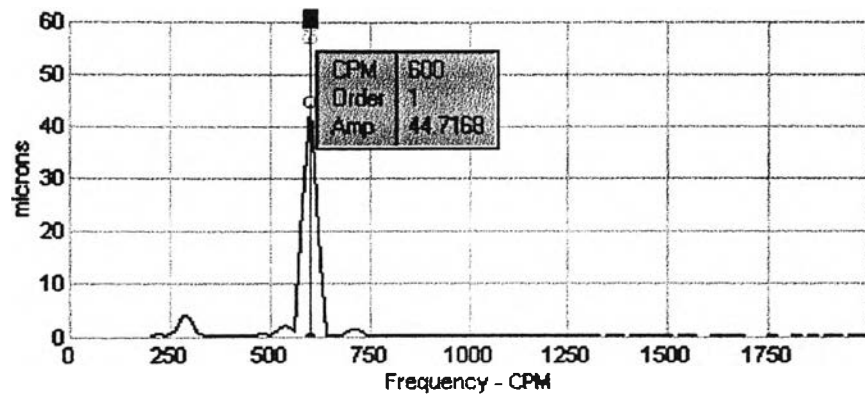


เครื่องจักรทำงานที่ 400 rpm

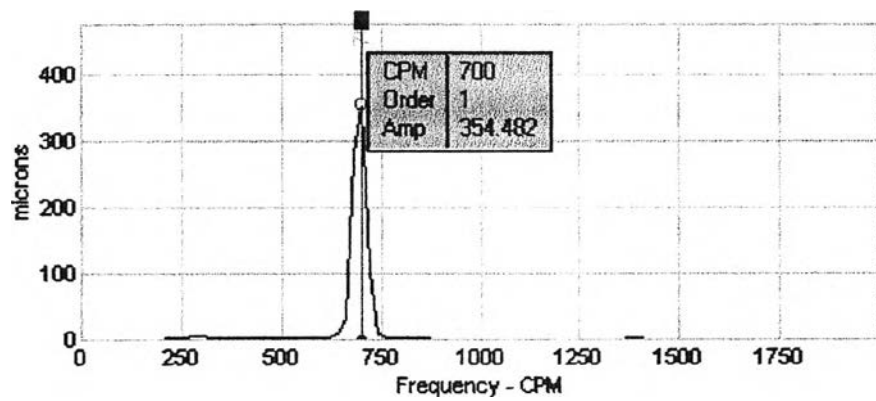


เครื่องจักรทำงานที่ 500 rpm

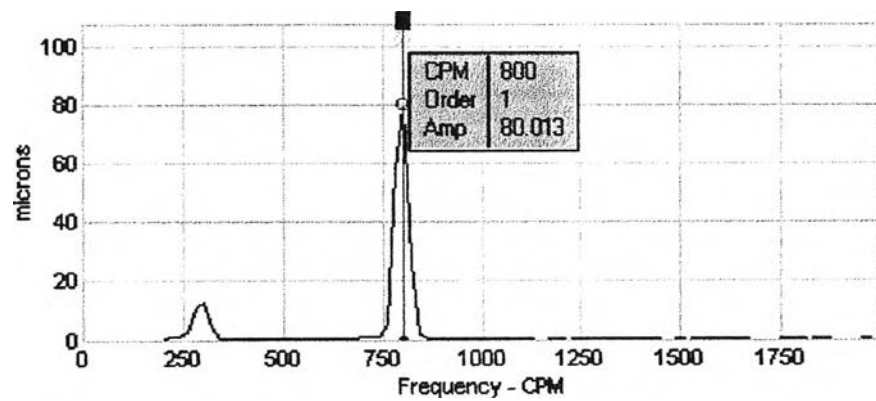
รูปที่ ข-1 ภาพสัญญาณโดเมนความถี่ของการสั่นสะเทือน x จากข้อมูลดิบในตาราง 5-1



เครื่องจักรทำงานที่ 600 rpm

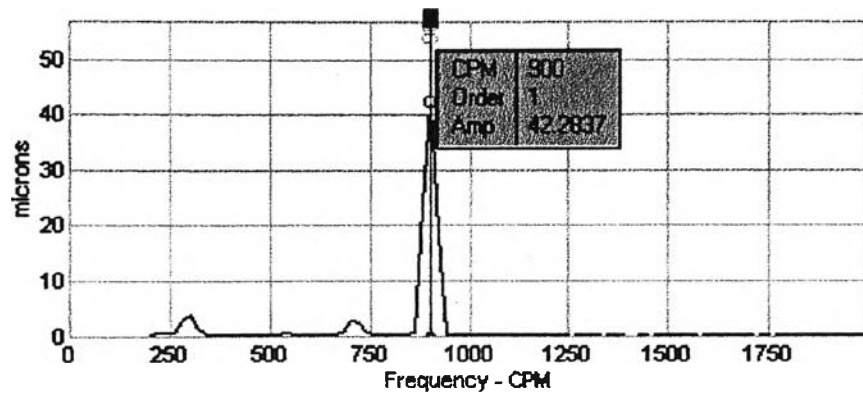


เครื่องจักรทำงานที่ 700 rpm

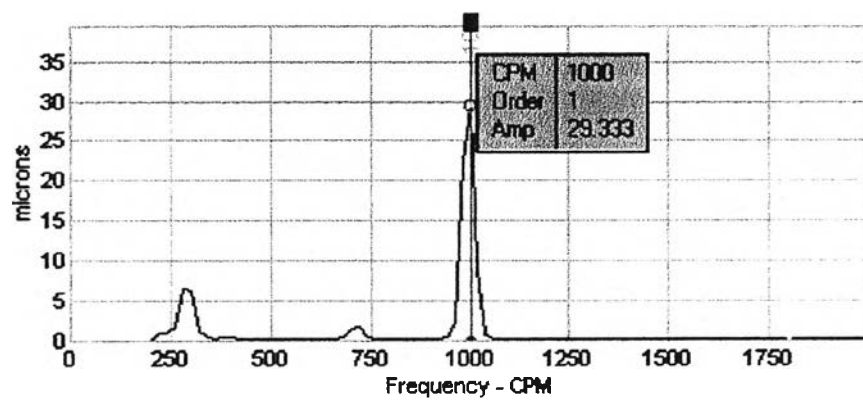


เครื่องจักรทำงานที่ 800 rpm

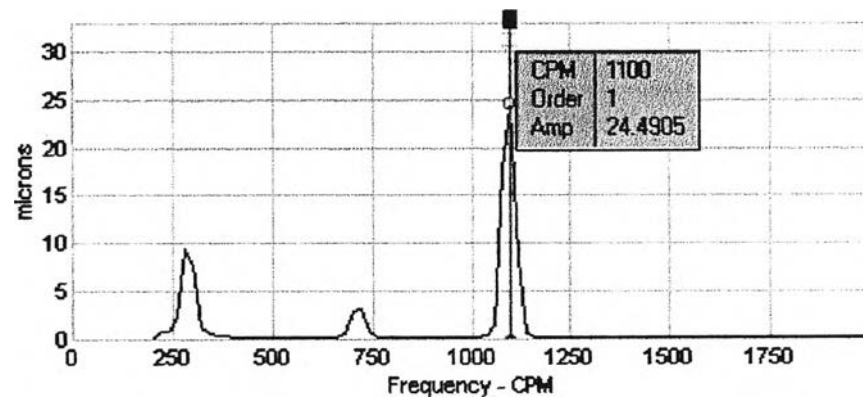
รูปที่ ข-1 ภาพสัณฐานโดเมนความถี่ของการสั่นสะเทือน x จากข้อมูลดิบในตาราง 5-1 (ต่อ)



เครื่องจักรทำงานที่ 900 rpm

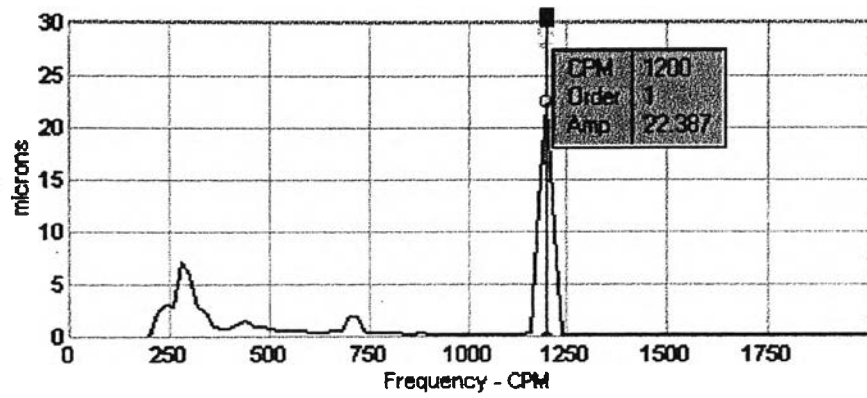


เครื่องจักรทำงานที่ 1000 rpm

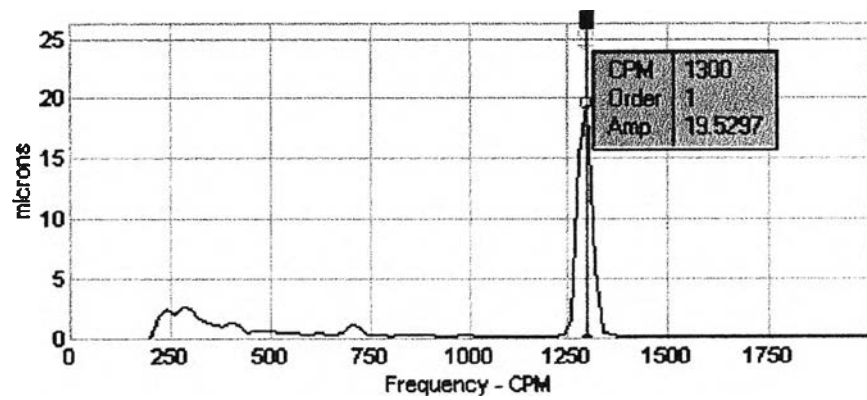


เครื่องจักรทำงานที่ 1100 rpm

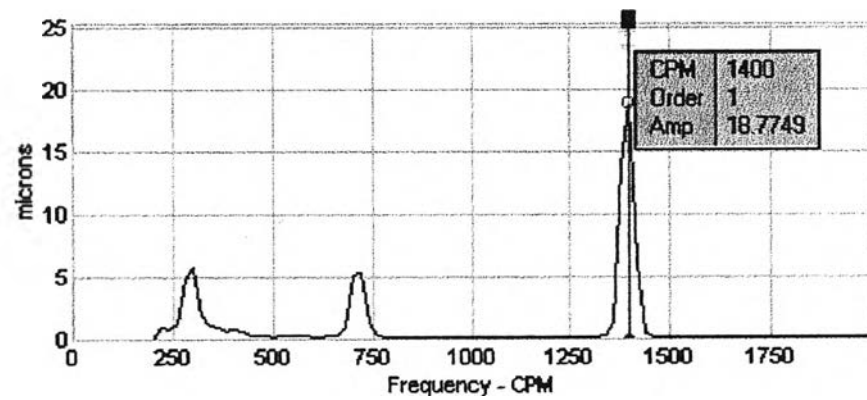
รูปที่ ข-1 ภาพสัญญาณโดเมนความถี่ของการสั่นสะเทือน x จากข้อมูลดิบในตาราง 5-1 (ต่อ)



เครื่องจักรทำงานที่ 1200 rpm

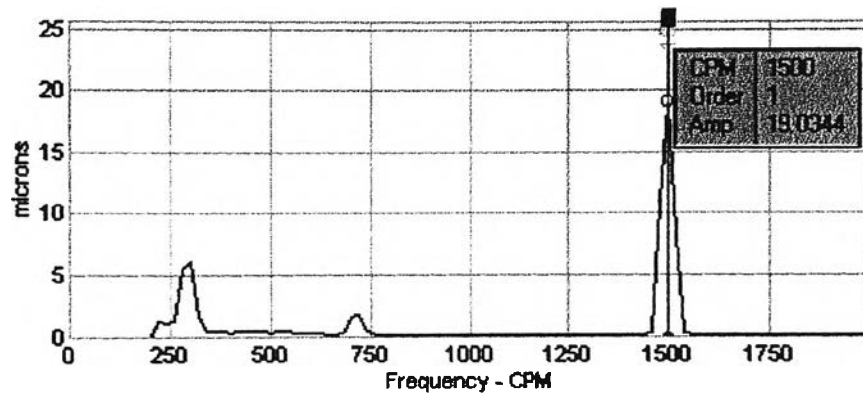


เครื่องจักรทำงานที่ 1300 rpm



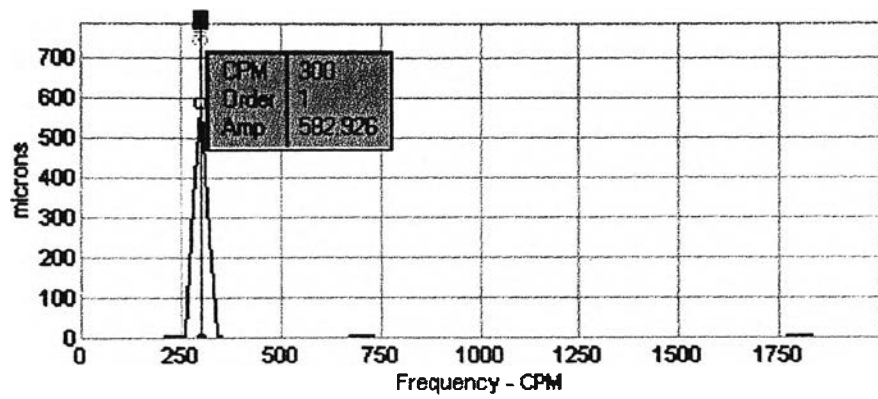
เครื่องจักรทำงานที่ 1400 rpm

รูปที่ ข-1 ภาพสัญญาณโดเมนความถี่ของการสั่นสะเทือน x จากข้อมูลดิบในตาราง 5-1 (ต่อ)

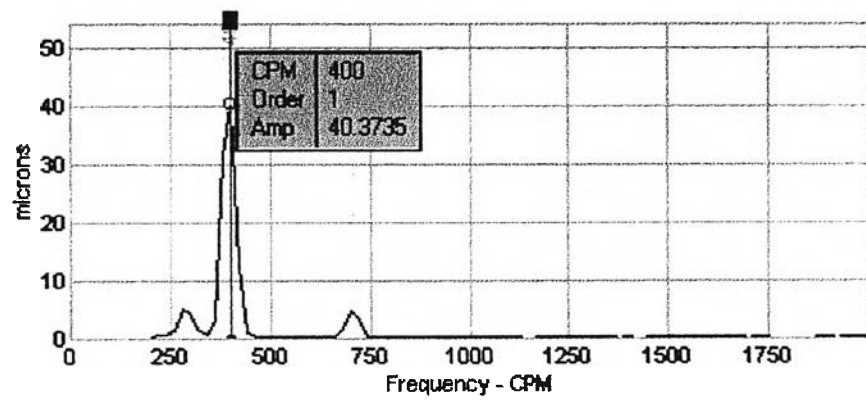


เครื่องจักรทำงานที่ 1500 rpm

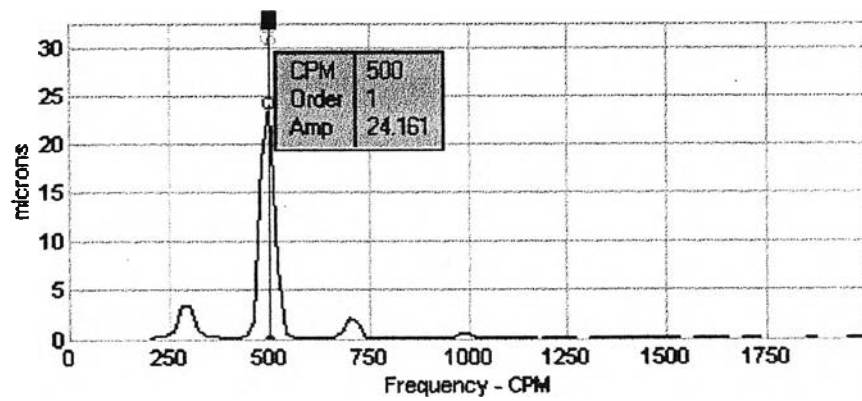
รูปที่ ข-1 ภาพสัญญาณโดเมนความถี่ของการสั่นสะเทือน x จากข้อมูลดิบในตาราง 5-1 (ต่อ)



เครื่องจักรทำงานที่ 300 rpm

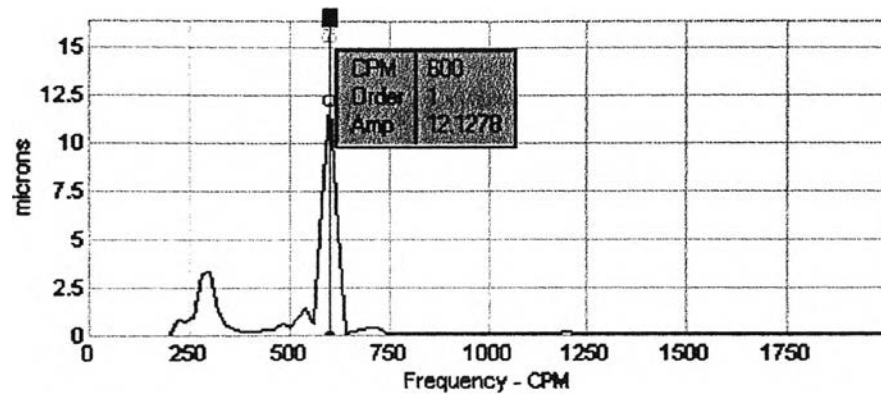


เครื่องจักรทำงานที่ 400 rpm

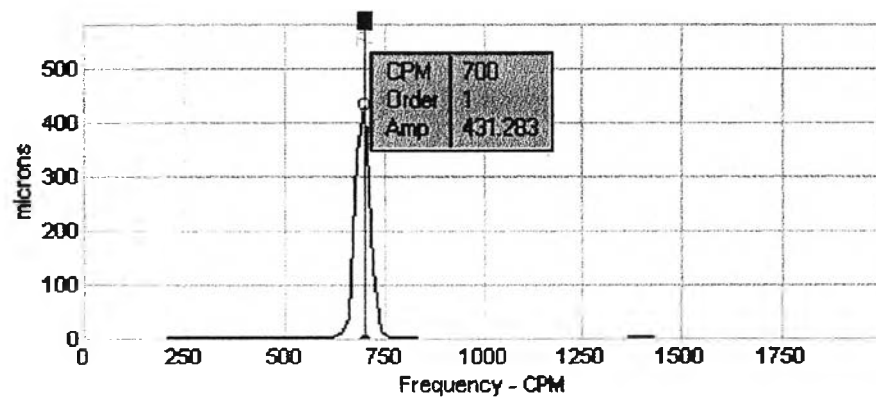


เครื่องจักรทำงานที่ 500 rpm

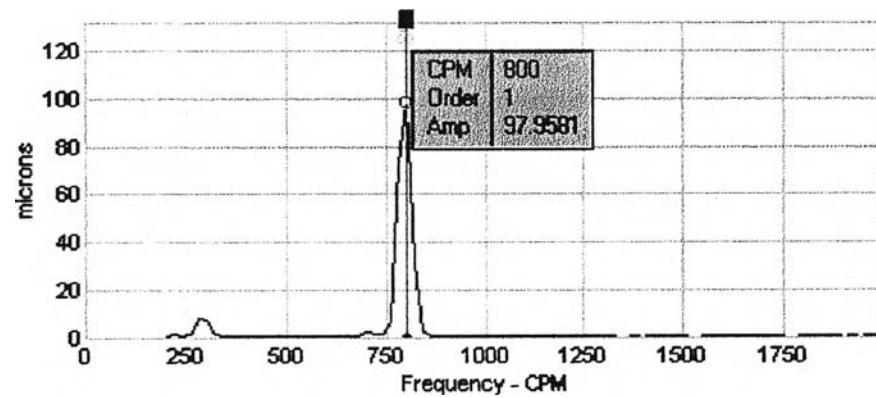
รูปที่ ข-2 ภาพสัญญาณโดเมนความถี่ของการสั่นสะเทือน y จากข้อมูลดิบในตาราง 5-1



เครื่องจักรทำงานที่ 600 rpm

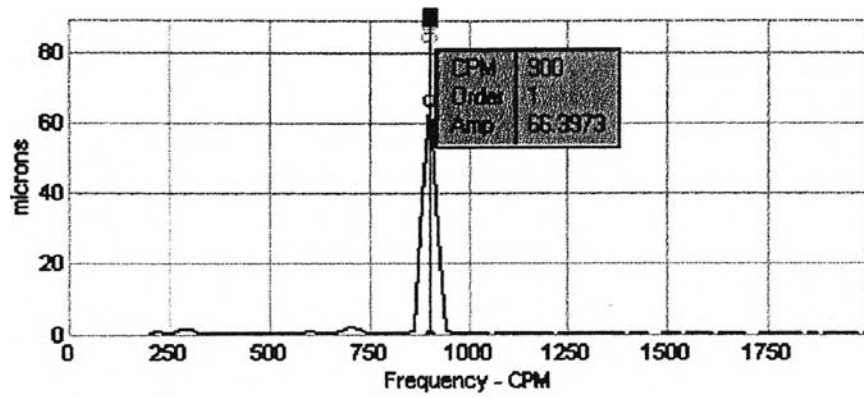


เครื่องจักรทำงานที่ 700 rpm

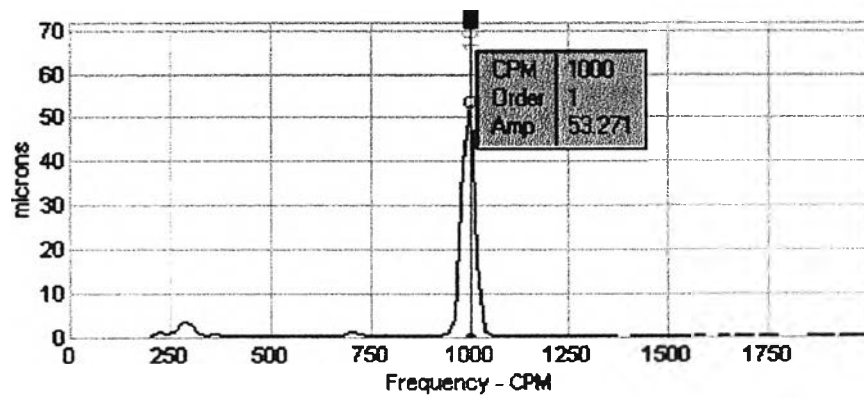


เครื่องจักรทำงานที่ 800 rpm

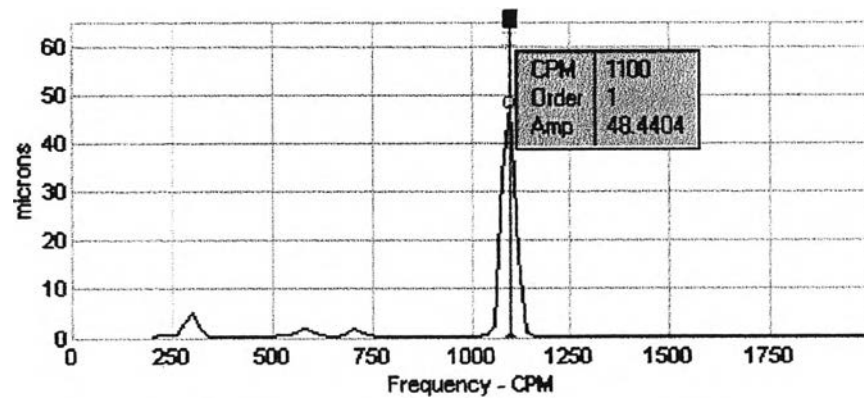
รูปที่ ข-2 ภาพสัญญาณโดเมนความถี่ของการสั่นสะเทือน y จากข้อมูลดิบในตาราง 5-1 (ต่อ)



เครื่องจักรทำงานที่ 900 rpm

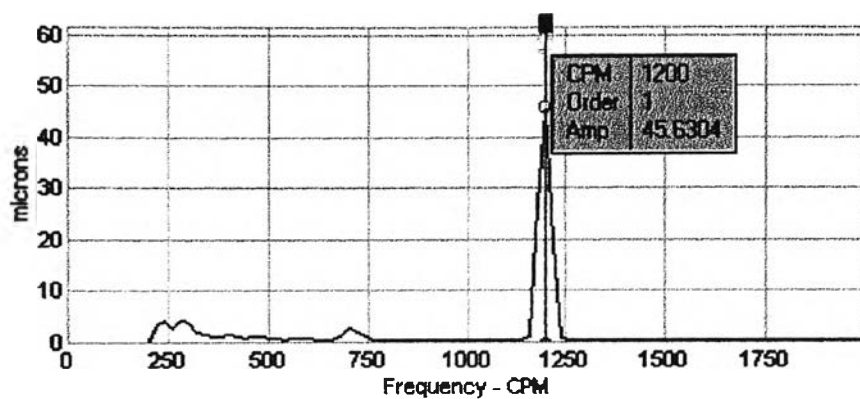


เครื่องจักรทำงานที่ 1000 rpm

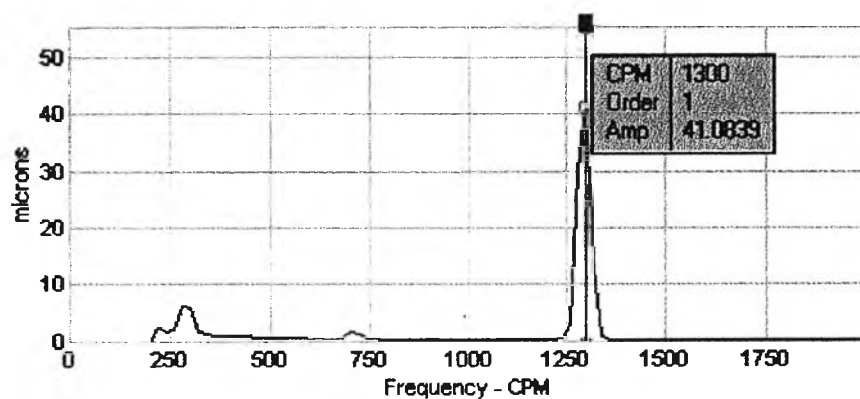


เครื่องจักรทำงานที่ 1100 rpm

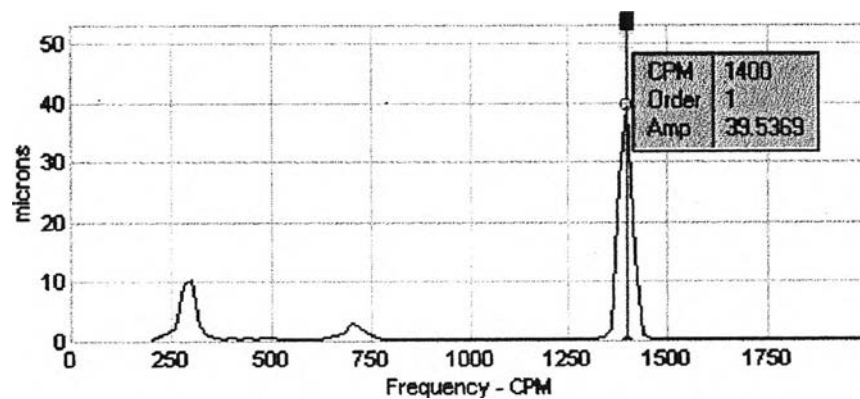
รูปที่ ๑-๒ ภาพสัญญาณโดเมนความถี่ของการสั่นสะเทือน y จากข้อมูลดิบในตาราง 5-1 (ต่อ)



เครื่องจักรทำงานที่ 1200 rpm

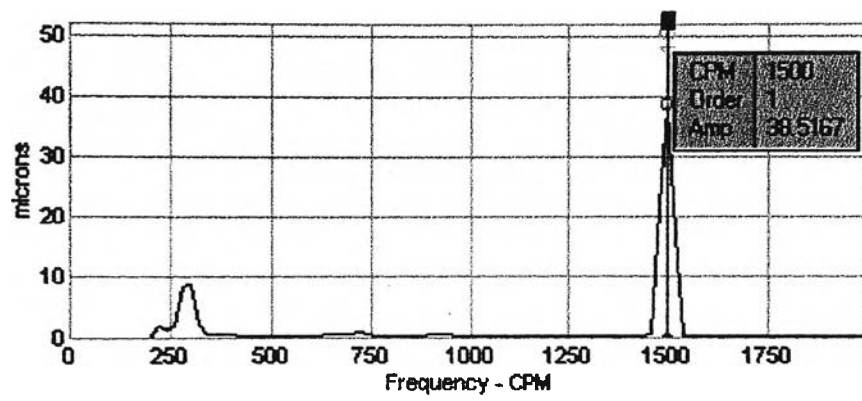


เครื่องจักรทำงานที่ 1300 rpm



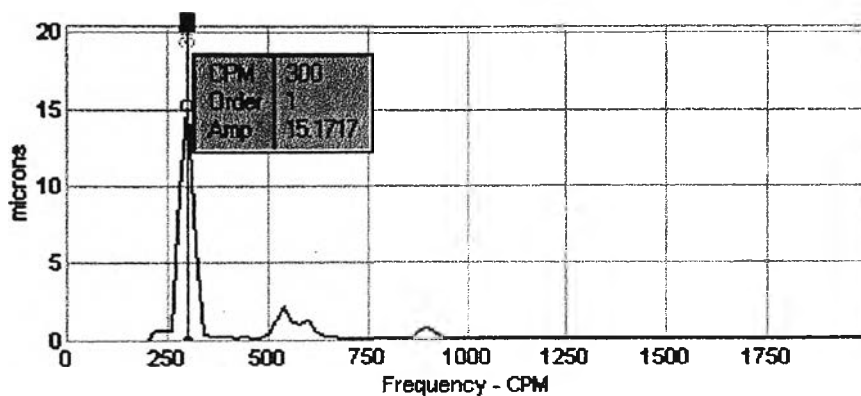
เครื่องจักรทำงานที่ 1400 rpm

รูปที่ ๑-2 ภาพสัณฐานโดเมนความถี่ของการสั่นสะเทือน y จากข้อมูลดิบในตาราง 5-1 (ต่อ)

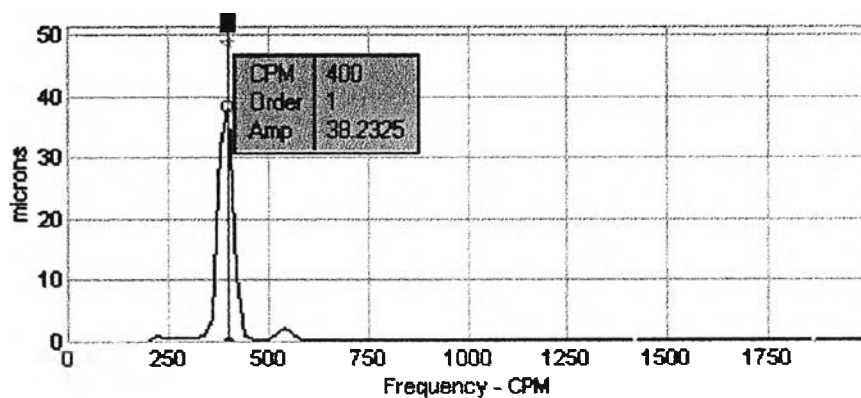


เครื่องจักรทำงานที่ 1500 rpm

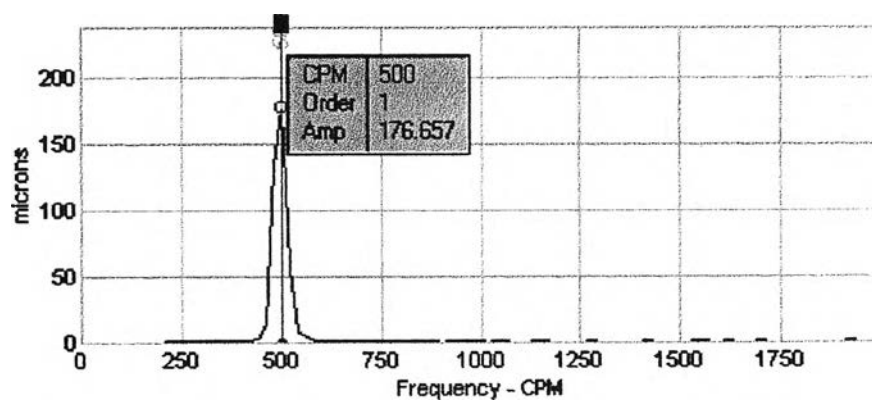
รูปที่ ข-2 ภาพสัญญาณโดเมนความถี่ของการสั่นสะเทือน y จากข้อมูลดิบในตาราง 5-1 (ต่อ)



เครื่องจักรทำงานที่ 300 rpm

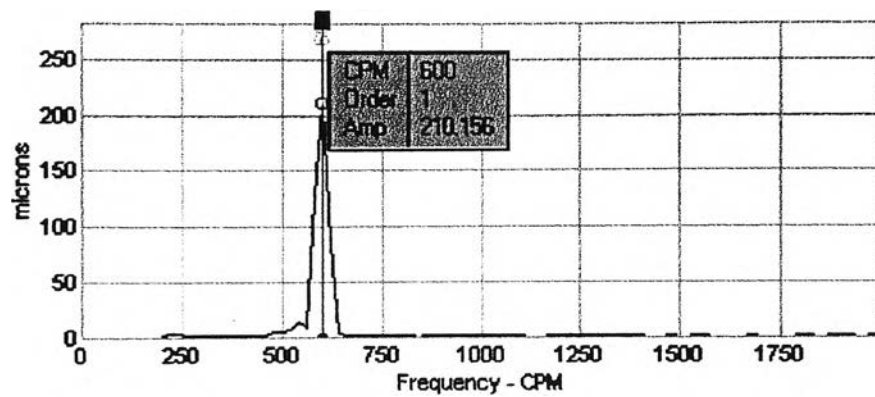


เครื่องจักรทำงานที่ 400 rpm

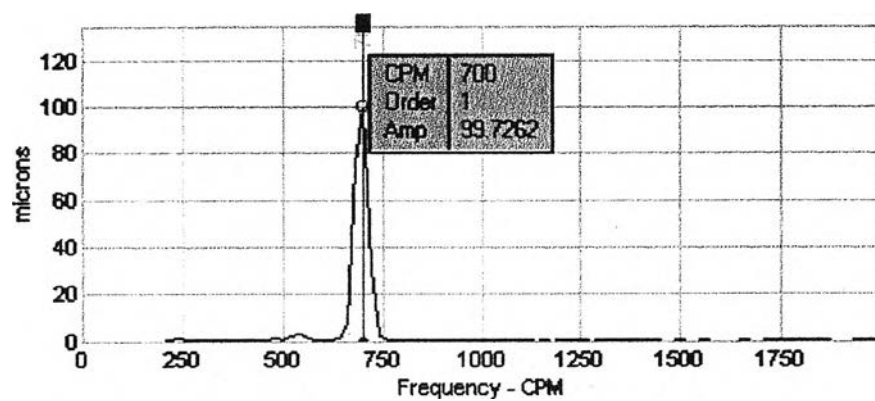


เครื่องจักรทำงานที่ 500 rpm

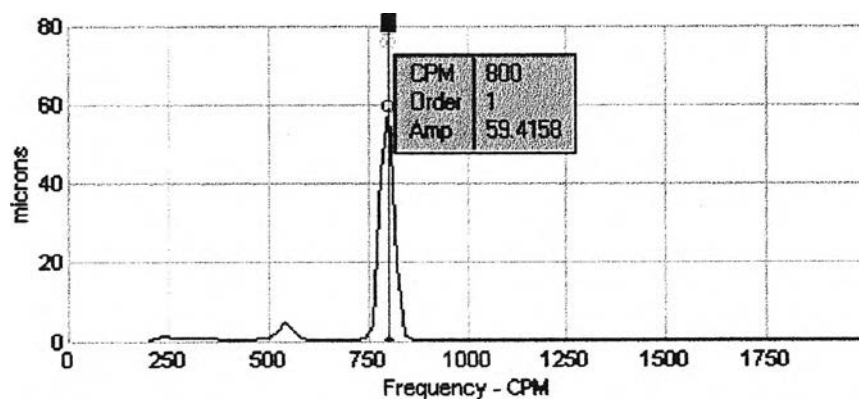
รูปที่ ข-3 ภาพสัญญาณโดเมนความถี่ของการสั่นสะเทือน z จากข้อมูลดิบในตาราง 5-1



เครื่องจักรทำงานที่ 600 rpm

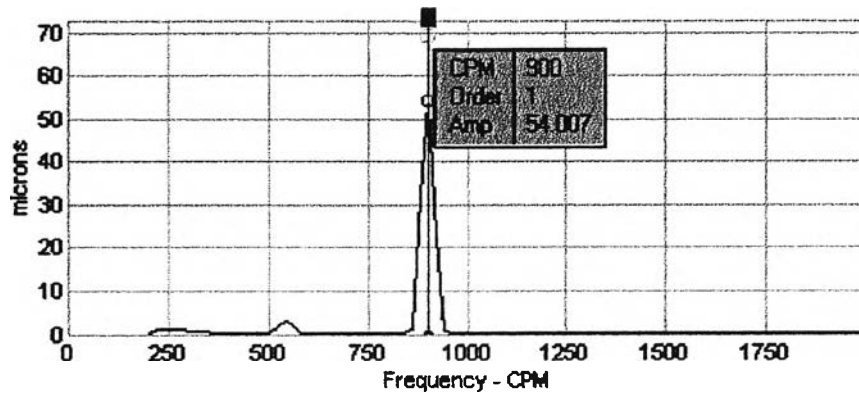


เครื่องจักรทำงานที่ 700 rpm

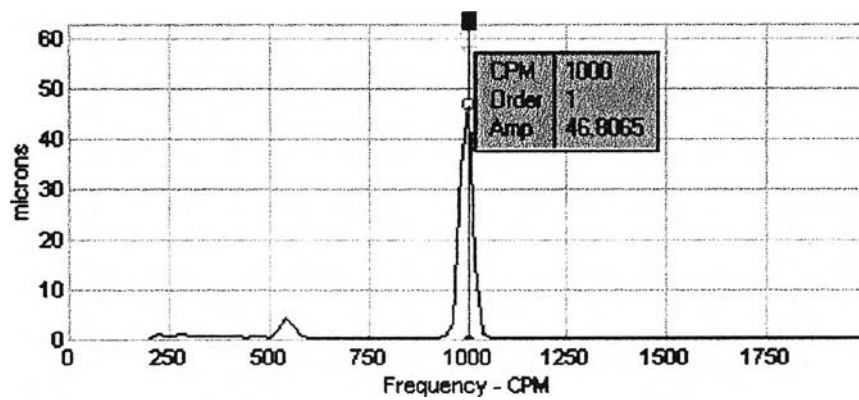


เครื่องจักรทำงานที่ 800 rpm

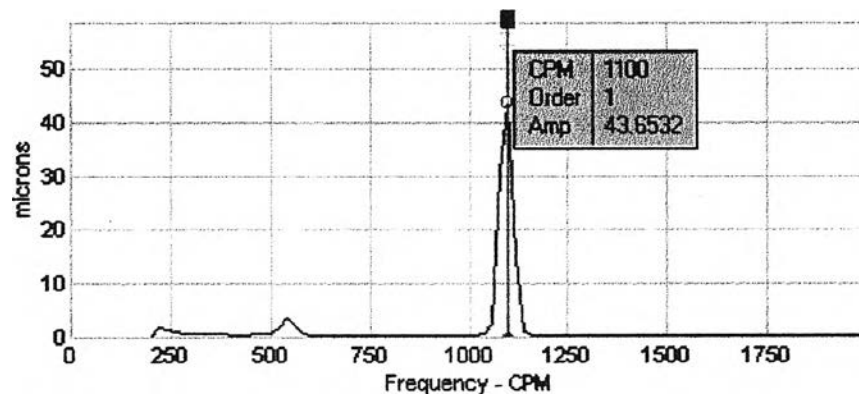
รูปที่ ข-3 ภาพสัญญาณโดเมนความถี่ของการสั่นสะเทือน z จากข้อมูลดิบในตาราง 5-1 (ต่อ)



เครื่องจักรทำงานที่ 900 rpm

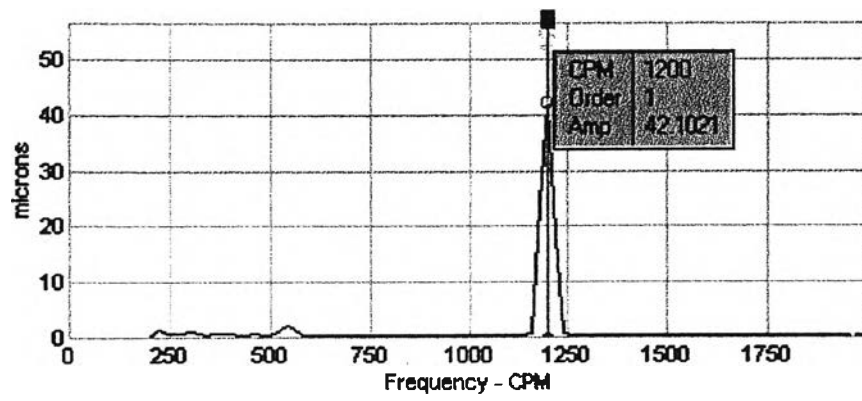


เครื่องจักรทำงานที่ 1000 rpm

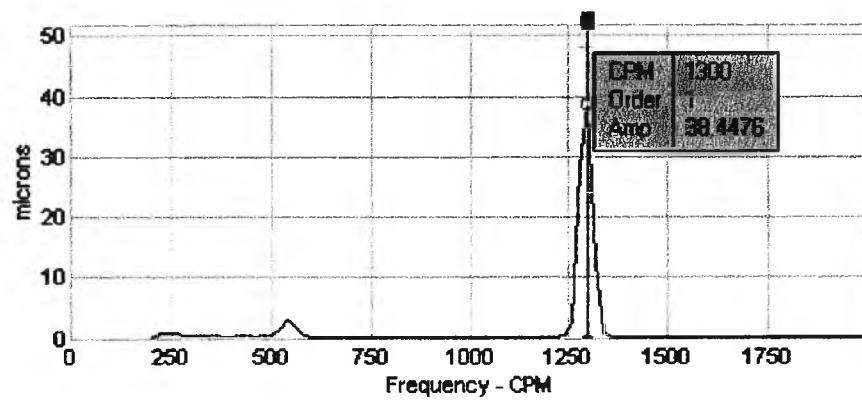


เครื่องจักรทำงานที่ 1100 rpm

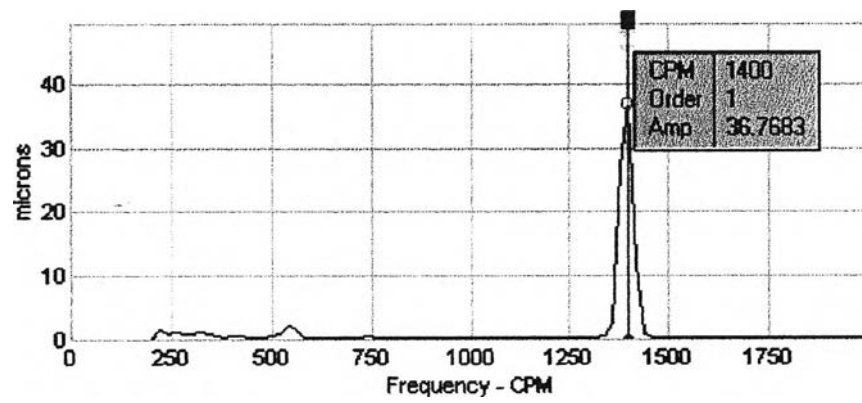
รูปที่ ข-3 ภาพสัญญาณโดเมนความถี่ของการสั่นสะเทือน z จากข้อมูลดิบในตาราง 5-1 (ต่อ)



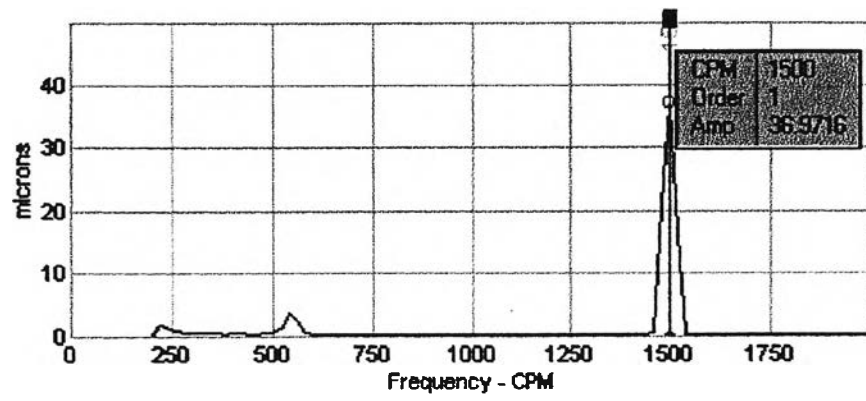
เครื่องจักรทำงานที่ 1200 rpm



เครื่องจักรทำงานที่ 1300 rpm



เครื่องจักรทำงานที่ 1400 rpm



เครื่องจักรทำงานที่ 1500 rpm

รูปที่ ข-3 ภาพสัญญาณโดเมนความถี่ของการสั่นสะเทือน z จากข้อมูลดิบในตาราง 5-1 (ต่อ)

ภาคผนวก ค

ค่าอัตราส่วนความหน่วง (Damping Ratio) โดยประมาณ สำหรับสปริงที่ใช้วัสดุต่าง ๆ กัน

Material	Approximate damping ratio
Steel spring	0.005
Natural rubber	0.05
Neoprene	0.05
Friction-damped springs	0.33
Metal mesh	0.12
Air damping	0.17
Felt and cork	0.06

ตารางที่ ค-1 ค่าอัตราส่วนความหน่วง (Damping Ratio) โดยประมาณ
สำหรับสปริงที่ใช้วัสดุต่าง ๆ กัน [5]

ภาคผนวก ง

การคำนวณหาค่าความถี่ธรรมชาติของระบบในบทที่ 5

จากสมการ 5-3 ถึง 5-8 ซึ่งเป็นสมการแสดงขนาดการกระจัดทั้ง 6 พิกัดของระบบ ดังนี้

$$X = -\frac{-4asdmk_x\omega^2F_0 + 16asdk_x^2F_0 - 16s^2dk_x^2F_0}{4sk_x(-m\omega^4I_y + 4s^2m\omega^2k_x + 4\omega^2I_yk_x + 4b^2m\omega^2k_z - 16b^2k_xk_z)} \quad (ง-1)$$

$$Y = \frac{eF_0}{4sk_y} + \frac{(-me\omega^2F_0 - 4sk_yF_0 + 4ek_yF_0)(\omega^2I_x + 4s(s-a)k_y + 4b^2k_z)}{4sk_y(-m\omega^4I_x + 4s^2m\omega^2k_y + 4\omega^2I_xk_y + 4b^2m\omega^2k_z - 16b^2k_yk_z)} \quad (ง-2)$$

$$Z = \frac{F_0}{4\omega^2 - 4k_z} \quad (ง-3)$$

$$\beta_0 = -\frac{-me\omega^2F_0 - 4sk_yF_0 + 4ek_yF_0}{-m\omega^4I_x + 4s^2m\omega^2k_y + 4\omega^2I_xk_y + 4b^2m\omega^2k_z - 16b^2k_yk_z} \quad (ง-4)$$

$$\theta_0 = \frac{dF_0(m\omega^2 - 4k_x)}{-m\omega^4I_y + 4s^2m\omega^2k_x + 4\omega^2I_yk_x + 4b^2m\omega^2k_z - 16b^2k_xk_z} \quad (ง-5)$$

$$\gamma_0 = \frac{dF_0}{\omega^2I_z - 4b^2k_x - 4b^2k_y} \quad (ง-6)$$

สามารถคำนวณความถี่ธรรมชาติได้โดยกำหนดพจน์ที่เป็นตัวหารในแต่ละสมการให้มีค่าเป็น 0 ดังนั้น คำนวณค่าความถี่ธรรมชาติของพิกัด x และ θ ซึ่งมีการควบของพิกัดได้จากค่า ω ในสมการ

$$-m\omega^4I_y + 4s^2m\omega^2k_x + 4\omega^2I_yk_x + 4b^2m\omega^2k_z - 16b^2k_xk_z = 0 \quad (ง-7)$$

คำนวณค่าความถี่ธรรมชาติของพิกัด y และ β ซึ่งมีการควบของพิกัดได้จากค่า ω ในสมการ

$$-m\omega^4I_x + 4s^2m\omega^2k_y + 4\omega^2I_xk_y + 4b^2m\omega^2k_z - 16b^2k_yk_z = 0 \quad (ง-8)$$

คำนวณค่าความถี่ธรรมชาติของพิกัด z ได้จากค่า ω ในสมการ

$$4\omega^2 - 4k_z = 0 \quad (ง-9)$$

และคำนวณค่าความถี่ธรรมชาติของพิกัด γ ได้จากค่า ω ในสมการ

$$\omega^2I_z - 4b^2k_x - 4b^2k_y = 0 \quad (ง-10)$$

โดยพารามิเตอร์ต่าง ๆ มีค่าดังต่อไปนี้

$$s = 10.2 \text{ cm}, a = 13.8 \text{ cm}, b = 20 \text{ cm}, d = 14 \text{ cm}, e = 4.2 \text{ cm},$$

$$m = 53.85 \text{ kg},$$

$$k_x = k_y = 4709 \text{ N/m}, k_z = 47.2 \text{ kN/m},$$

$$I_x = 2.11 \text{ kg-m}^2, I_y = 2.15 \text{ kg-m}^2 \text{ และ } I_z = 2.50 \text{ kg-m}^2$$

ดังนั้น คำนวณค่าความถี่ธรรมชาติใน 6 พิกัด โดยแทนค่าพารามิเตอร์ในสมการ ง-7, ง-8, ง-9 และ ง-10 คำนวณหาค่าความถี่ธรรมชาติจากค่า ω ได้ดังต่อไปนี้

-ความถี่ธรรมชาติของการเคลื่อนที่ในพิกัด x และ θ (มีการควบของพิกัด) อยู่ที่ 174 และ 581 rpm

-ความถี่ธรรมชาติของการเคลื่อนที่ในพิกัด z อยู่ที่ 565 rpm

-ความถี่ธรรมชาติของการเคลื่อนที่ในพิกัด y และ β (มีการควบของพิกัด) อยู่ที่ 174 และ 586 rpm

-ความถี่ธรรมชาติของการเคลื่อนที่ในพิกัด γ อยู่ที่ 234 rpm

ภาคผนวก จ

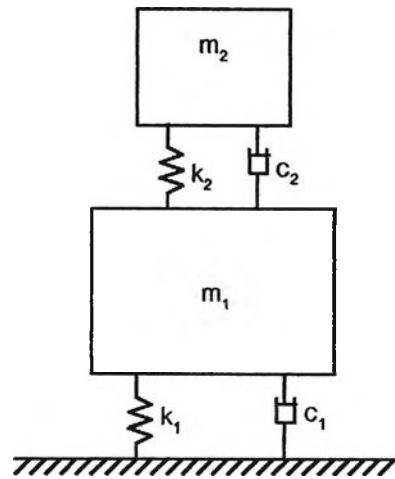
คำตอบของระบบสมการ 5-18 ในบทที่ 5

$$\begin{aligned}
X = & -((am\omega^2 - 4ak_x + 4sk_x)(dm\omega^2 F_0 + lm\omega^2 F_0 - 4dF_0 k_z)) / \\
& (m^2 \omega^8 i_y - 4m^2 s^2 \omega^4 k_x - 4m\omega^4 i_y k_x - 4b^2 m^2 \omega^4 k_z - 4l^2 m^2 \omega^4 k_z - 4m\omega^4 i_y k_z + 16b^2 m\omega^2 k_x k_z + \\
& 16l^2 m\omega^2 k_x k_z + 16ms^2 \omega^2 k_x k_z + 16\omega^2 i_y k_x k_z + 16b^2 m\omega^2 k_z^2 - 64b^2 k_x k_z^2) \\
Y = & (-am\epsilon\omega^4 i_z F_0 - \omega^4 i_x i_z F_0 + 4ab^2 m\epsilon\omega^2 F_0 k_x + 4b^2 \omega^2 i_x F_0 k_x + 4ab^2 m\epsilon\omega^2 F_0 k_y + 4a l^2 m\epsilon\omega^2 F_0 k_y + \\
& 4b^2 \omega^2 i_x F_0 k_y - 4dl\omega^2 i_x F_0 k_y - 4as\omega^2 i_z F_0 k_y + 4s^2 \omega^2 i_z F_0 k_y + 4a\epsilon\omega^2 i_z F_0 k_y - 4s\epsilon\omega^2 i_z F_0 k_y + \\
& 16ab^2 s F_0 k_x k_y - 16b^2 s^2 F_0 k_x k_y - 16ab^2 \epsilon F_0 k_x k_y + 16b^2 s \epsilon F_0 k_x k_y + 16ab^2 s F_0 k_y^2 - \\
& 16adls F_0 k_y^2 - 16b^2 s^2 F_0 k_y^2 + 16dls^2 F_0 k_y^2 - 16ab^2 \epsilon F_0 k_y^2 - 16a l^2 \epsilon F_0 k_y^2 + 16b^2 s \epsilon F_0 k_y^2 - \\
& 4adlms\omega^2 F_0 k_z - 4a l^2 ms\omega^2 F_0 k_z + 4b^2 \omega^2 i_z F_0 k_z - 16b^4 F_0 k_x k_z - 16b^4 F_0 k_y k_z + \\
& 16b^2 dl F_0 k_y k_z + 16adls F_0 k_y k_z + 16a l^2 s F_0 k_y k_z - 16dls^2 F_0 k_y k_z) / \\
& (m\omega^6 i_x i_z - 4b^2 m\omega^4 i_x k_x - 4b^2 m\omega^4 i_x k_y - 4l^2 m\omega^4 i_x k_y - 4ms^2 \omega^4 i_z k_y - 4\omega^4 i_x i_z k_y + \\
& 16b^2 ms^2 \omega^2 k_x k_y + 16b^2 \omega^2 i_x k_x k_y + 16b^2 ms^2 \omega^2 k_y^2 + 16l^2 ms^2 \omega^2 k_y^2 + 16b^2 \omega^2 i_x k_y^2 - \\
& 64a l^2 s k_y^3 - 4b^2 m\omega^4 i_z k_z + 16b^4 m\omega^2 k_x k_z + 16b^4 m\omega^2 k_y k_z + 16b^2 l^2 m\omega^2 k_y k_z - \\
& 16a l^2 ms\omega^2 k_y k_z - 16l^2 ms^2 \omega^2 k_y k_z + 16b^2 \omega^2 i_z k_y k_z - 64b^4 k_x k_y k_z - 64b^4 k_y^2 k_z + 64a l^2 s k_y^2 k_z) \\
Z = & (-dlm^2 \omega^4 F_0 - l^2 m^2 \omega^4 F_0 - m\omega^4 i_y F_0 + 4dlm\omega^2 F_0 k_x + 4l^2 m\omega^2 F_0 k_x + 4ms^2 \omega^2 F_0 k_x + 4\omega^2 i_y F_0 k_x + \\
& 4b^2 m\omega^2 F_0 k_z - 16b^2 F_0 k_x k_z) / \\
& (m^2 \omega^8 i_y - 4m^2 s^2 \omega^4 k_x - 4m\omega^4 i_y k_x - 4b^2 m^2 \omega^4 k_z - 4l^2 m^2 \omega^4 k_z - 4m\omega^4 i_y k_z + 16b^2 m\omega^2 k_x k_z + \\
& 16l^2 m\omega^2 k_x k_z + 16ms^2 \omega^2 k_x k_z + 16\omega^2 i_y k_x k_z + 16b^2 m\omega^2 k_z^2 - 64b^2 k_x k_z^2) \\
\beta_0 = & (-m\epsilon\omega^4 i_z F_0 + 4b^2 m\epsilon\omega^2 F_0 k_x + 4b^2 m\epsilon\omega^2 F_0 k_y + 4l^2 m\epsilon\omega^2 F_0 k_y - 4s\omega^2 i_z F_0 k_y + 4\epsilon\omega^2 i_z F_0 k_y + \\
& 16b^2 s F_0 k_x k_y - 16b^2 \epsilon F_0 k_x k_y + 16b^2 s F_0 k_y^2 - 16dls F_0 k_y^2 - 16b^2 \epsilon F_0 k_y^2 - 4dlms\omega^2 F_0 k_z - \\
& 4l^2 ms\omega^2 F_0 k_z + 16dls F_0 k_y k_z) / \\
& (m\omega^6 i_x i_z - 4b^2 m\omega^4 i_x k_x - 4b^2 m\omega^4 i_x k_y - 4l^2 m\omega^4 i_x k_y - 4ms^2 \omega^4 i_z k_y - 4\omega^4 i_x i_z k_y + \\
& 16b^2 ms^2 \omega^2 k_x k_y + 16b^2 \omega^2 i_x k_x k_y + 16b^2 ms^2 \omega^2 k_y^2 + 16l^2 ms^2 \omega^2 k_y^2 + 16b^2 \omega^2 i_x k_y^2 - \\
& 64a l^2 s k_y^3 - 4b^2 m\omega^4 i_z k_z + 16b^4 m\omega^2 k_x k_z + 16b^4 m\omega^2 k_y k_z + 16b^2 l^2 m\omega^2 k_y k_z - \\
& 16a l^2 ms\omega^2 k_y k_z - 16l^2 ms^2 \omega^2 k_y k_z + 16b^2 \omega^2 i_z k_y k_z - 64b^4 k_x k_y k_z - 64b^4 k_y^2 k_z + 64a l^2 s k_y^2 k_z) \\
\theta_0 = & (-dm^2 \omega^4 F_0 - lm^2 \omega^4 F_0 + 4dm\omega^2 F_0 k_x + 4lm\omega^2 F_0 k_x + 4dm\omega^2 F_0 k_z - 16dF_0 k_x k_z) / \\
& (-m^2 \omega^8 i_y + 4m^2 s^2 \omega^4 k_x + 4m\omega^4 i_y k_x + 4b^2 m^2 \omega^4 k_z + 4l^2 m^2 \omega^4 k_z + 4m\omega^4 i_y k_z - 16b^2 m\omega^2 k_x k_z - \\
& 16l^2 m\omega^2 k_x k_z - 16ms^2 \omega^2 k_x k_z - 16\omega^2 i_y k_x k_z - 16b^2 m\omega^2 k_z^2 + 64b^2 k_x k_z^2) \\
\gamma_0 = & (-dm\omega^4 i_x F_0 - lm\omega^4 i_x F_0 + 4dms^2 \omega^2 F_0 k_y + 4lms^2 \omega^2 F_0 k_y - 4alms\omega^2 F_0 k_y - 4lms\epsilon\omega^2 F_0 k_y + \\
& 4d\omega^2 i_x F_0 k_y - 16als F_0 k_y^2 + 16a\epsilon F_0 k_y^2 + 4b^2 dm\omega^2 F_0 k_z + 4b^2 lm\omega^2 F_0 k_z - 16b^2 dF_0 k_y k_z) / \\
& (m\omega^6 i_x i_z - 4b^2 m\omega^4 i_x k_x - 4b^2 m\omega^4 i_x k_y - 4l^2 m\omega^4 i_x k_y - 4ms^2 \omega^4 i_z k_y - 4\omega^4 i_x i_z k_y + \\
& 16b^2 ms^2 \omega^2 k_x k_y + 16b^2 \omega^2 i_x k_x k_y + 16b^2 ms^2 \omega^2 k_y^2 + 16l^2 ms^2 \omega^2 k_y^2 + 16b^2 \omega^2 i_x k_y^2 - \\
& 64a l^2 s k_y^3 - 4b^2 m\omega^4 i_z k_z + 16b^4 m\omega^2 k_x k_z + 16b^4 m\omega^2 k_y k_z + 16b^2 l^2 m\omega^2 k_y k_z - \\
& 16a l^2 ms\omega^2 k_y k_z - 16l^2 ms^2 \omega^2 k_y k_z + 16b^2 \omega^2 i_z k_y k_z - 64b^4 k_x k_y k_z - 64b^4 k_y^2 k_z + 64a l^2 s k_y^2 k_z)
\end{aligned}$$

ภาคผนวก ฉ

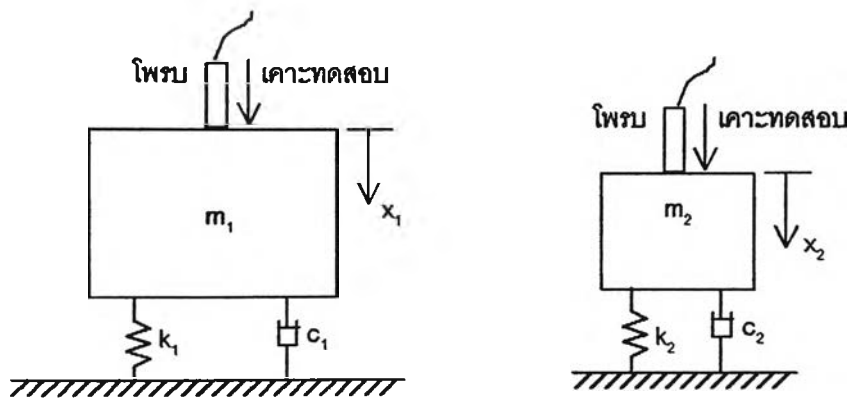
การเคาะทดสอบเพื่อหาค่าอัตราส่วนความหน่วงของระบบ ในหัวข้อ 7-1-4 ผลของค่าความหน่วงที่มีต่อระบบในการทดลอง

เนื่องจากระบบในการทดลองมีค่าความหน่วงแฝงอยู่ จึงวิเคราะห์ระบบที่มีการติดตั้งตัวดูดซับการสั่นสะเทือนและมีค่าความหน่วง โดยทดลองหาค่าความหน่วงจากการทดลองและเปรียบเทียบผลของความหน่วงที่มีต่อระบบ พิจารณาระบบในการทดลองที่ 7-1 ดังรูปที่ ฉ-1



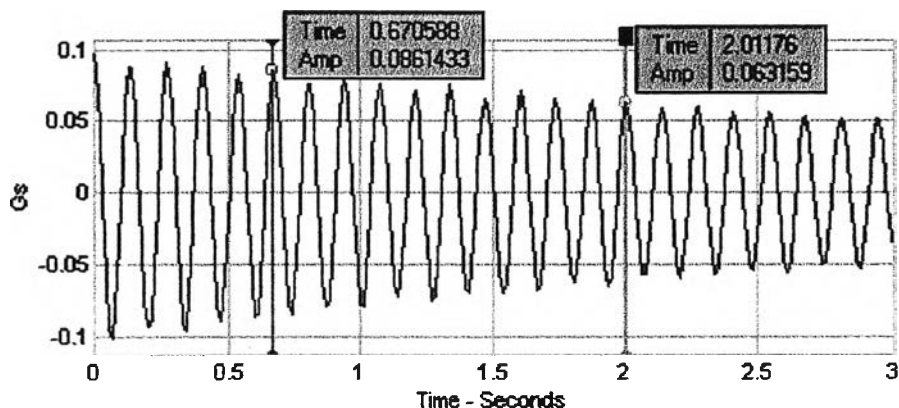
รูปที่ ฉ-1 ระบบในการทดลองเมื่อมีความหน่วง

จากรูปที่ ฉ-1 ระบบมีค่าความหน่วง c_1 และ c_2 ค่าความหน่วงทั้ง 2 ค่านี้เป็นส่วนที่เกิดจากพลังงานสูญเสียไปในสปริงหรือคานในแต่ละรอบของความเค้นที่เกิดขึ้นในสปริงหรือคาน เรียกว่า ความหน่วงเชิงโครงสร้าง (Structural Damping) ทดลองหาค่าความหน่วง c_1 และ c_2 โดยแยกระบบออกเป็น 2 ส่วนและทำการเคาะทดสอบ (Bump Test) ดังรูปที่ ฉ-2 (สปริง k_1 คือ ตัวกั้นการสั่นสะเทือน และสปริง k_2 คือคานที่เลื่อนจุดรองรับได้จากการทดลองที่ 7-1)



รูปที่ จ-2 ระบบในการทดลองที่ทำการเคาะทดสอบเพื่อหาค่าความหน่วง

ใช้ค้อนยางเคาะทดสอบ และใช้อุปกรณ์วัดสัญญาณการสั่นสะเทือนไมโครล็อกวัดการสั่นสะเทือนโดยติดตั้งโพรบไว้ด้านบนที่บริเวณกึ่งกลางของก้อนมวล วัดค่าความเร่ง (Acceleration) ของ \ddot{x}_1 ในรูปแบบของโดเมนเวลาในช่วงทรานเซียน (Transient) ได้ดังรูปที่ จ-3



รูปที่ จ-3 สัญญาณความเร่ง \ddot{x}_1 ในช่วงทรานเซียนในรูปแบบโดเมนเวลา

วิเคราะห์สัญญาณในรูปที่ จ-3 เพื่อหาค่าความหน่วง ζ โดยคำนวณจากการลดลงแบบลอการิทึม (Logarithmic Decrement) ของเส้นกราฟจากความสัมพันธ์

$$\delta = \frac{2\pi\zeta}{\sqrt{1-\zeta^2}} = \frac{1}{n} \ln \frac{x_0}{x_n} \tag{จ-1}$$

โดย δ คือ ค่าการลดลงแบบลอการิทึม (Logarithmic Decrement)

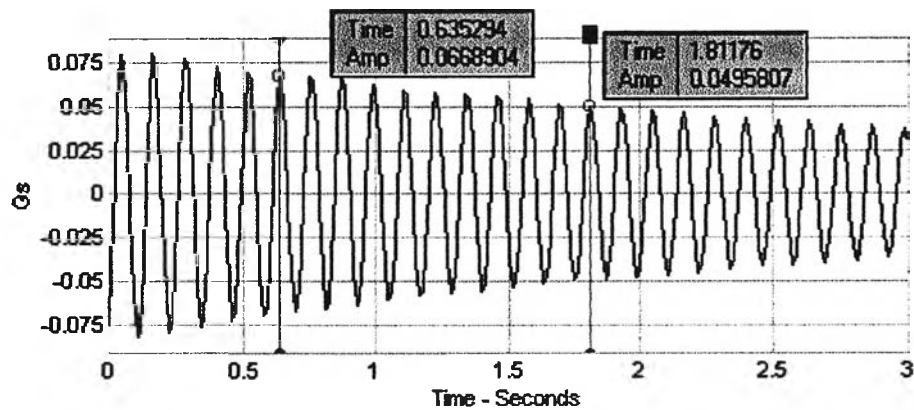
ζ คือ อัตราส่วนความหน่วง (Damping Ratio)

x_0 คือ แอมพลิจูดของสัญญาณความเร่งยอดแรกที่นำมาวิเคราะห์

x_n คือ แอมพลิจูดของสัญญาณความเร่งถัดไปอีก n ยอดที่นำมาวิเคราะห์

ดังนั้น จากรูปที่ ๑-3 ค่า $n = 10$, $x_0 = 0.0861$ Gs และ $x_n = 0.0632$ Gs คำนวณได้ค่าอัตราส่วนความหน่วง $\zeta_1 = 0.0049$

ใช้ค้อนยางเคาะทดสอบครั้งเดียว และใช้อุปกรณ์วัดสัญญาณการสั่นสะเทือนไมโครล็อกวัดการสั่นสะเทือนโดยติดตั้งโพรบไว้ด้านบนที่บริเวณกึ่งกลางของก้อนมวล วัดค่าความเร่ง (Acceleration) ของ \ddot{X}_2 ในรูปแบบของโดเมนเวลาในช่วงทรานเซียน (Transient) ได้ดังรูปที่ ๑-4



รูปที่ ๑-4 สัญญาณความเร่ง \ddot{X}_2 ในช่วงทรานเซียนในรูปแบบโดเมนเวลา

สามารถหาค่าความหน่วง c_2 โดยคำนวณจากการลดลงแบบลอการิทึม (Logarithmic Decrement) ของเส้นกราฟ เช่นเดียวกับการหาค่า c_1 ดังนั้น จากรูปที่ ๑-4 ค่า $n = 10$, $x_0 = 0.0669$ Gs และ $x_n = 0.0496$ Gs คำนวณจากสมการ ๑-1 ได้ค่าอัตราส่วนความหน่วง $\zeta_2 = 0.0047$



ประวัติผู้เขียนวิทยานิพนธ์

นาย เอกพงษ์ ตั้งพัฒน์เสรี เกิดเมื่อวันที่ 22 พฤศจิกายน พ.ศ. 2520 ที่กรุงเทพมหานคร ศึกษาในระดับมัธยมศึกษาตอนต้นและมัธยมศึกษาตอนปลายที่โรงเรียนบดินทรเดชา (สิงห์ สิงหเสนี) จากนั้นเข้าศึกษาในคณะวิศวกรรมศาสตร์ จุฬาลงกรณ์มหาวิทยาลัย ปีการศึกษา 2537 สำเร็จปริญญาวิศวกรรมศาสตรบัณฑิต จากภาควิชาวิศวกรรมเครื่องกลในปีการศึกษา 2540 และได้เข้าศึกษาต่อในหลักสูตรปริญญาวิศวกรรมศาสตรมหาบัณฑิต ภาควิชาวิศวกรรมเครื่องกล คณะวิศวกรรมศาสตร์ จุฬาลงกรณ์มหาวิทยาลัย ในปีการศึกษา 2541